

# 동절기 콘크리트공사시 콘크리트의 온도해석기법에 관한 실험적 연구

## An Experimental Study on Temperature Analysis Method of Concrete in Cold-Weathering Concrete Constructions

이 도 범\*

Lee, Do Bum

김 효 락\*\*

Kim, Hyo Rak

박 지 훈\*\*\*

Park, Ji Hoon

최 일 호\*\*\*

Choi, Il Ho

### ABSTRACT

In the latest, the construction period became the most important factor in the domestic building works because buildings is higher and larger gradually. Accordingly, cold-weathering concrete constructions are performed more and more. So, the demands of concrete quality management methods are increased in cold-weathering concrete constructions.

In this study, the mock-up experiment was performed to correct input data in the kimpo H construction field. Using the results of this experiment, the method of temperature analysis was presented to prevent early aged freezing damage and to control thermal crack in this study.

### 1. 서론

최근 국내의 건축공사는 건축물의 고층화 및 대규모화 등으로 인하여 공기관리가 프로젝트의 사업성에 큰 영향을 미치게 되면서 동절기에도 콘크리트 공사를 수행하는 현장이 늘고 있는 현실이며, 이에 따라 한중콘크리트의 적절한 품질관리 방법에 대한 요구가 늘고 있는 실정이다. 그런데, 콘크리트는 한중 및 저온환경 하에서 타설되어 양생온도가 낮을수록, 수화반응속도가 느려져 요구되는 시점에 소요강도가 발현되지 않을 수 있으며, 초기에 잉여수의 동결로 내부조직의 파괴가 일어나 영구히 제강도가 발현되지 않는 초기동해를 입을 수도 있다. 시공현장에서는 주로 타설후 2~3일 이내에 발생하는 초기동해를 방지하기 위해 다양한 보양방법을 강구하고 있으나, 그 성능이 명확하게 규명되어 있지 않은 형편이다.

따라서, 본 연구에서는 김포 H 현장에서의 Mock-up 실험결과를 통하여 온도해석시 필요한 입력자료를 보정한 후, 동절기 콘크리트 공사시 다양한 기온조건과 보양방법에 따른 콘크리트의 초기동해방지 및 보양종료시 온도충격제어를 위한 온도해석기법을 제시하는데 그 목적이 있다.

\* 정회원, (주)대림산업 기술연구소 책임연구원

\*\* 정회원, (주)대림산업 기술연구소 선임연구원

\*\*\* 정회원, (주)대림산업 기술연구소 연구원

## 2. Mock-up 실험

본 실험은 온도해석시 필요한 변수결정을 위한 실험으로서, 2000년 12월 9일부터 2001년 1월 17일까지 김포 H 현장에서 실시되었다.

### 2.1 시험체

시험체는 그림 1~그림 4와 같이  $T=10$  합판과  $100 \times 100$  각재를 사용하여 거푸집을 만들었다. 시험체 두께는 실 구조물과 동일하게 하였으며, 열적으로 연속인 경계면 및 대칭면 등은  $T=400$  아이소핑크로 완전단열과 가깝게 처리하였다. 그리고, 실험에 사용된 콘크리트는 본 현장에 납품되는 Y 레미콘사 25-240-15 규격의 제품으로서, 배합은 표 1과 같다.

표 1 콘크리트 배합표

물 결합재비 (%)	잔골재율 (%)	플라이애쉬치환율 (%)	단위중량(kg/m <sup>3</sup> )				
			물	시멘트	플라이애쉬	잔골재	굵은골재
48.9	47.9	8.0	172	324	28	854	928
							1.76

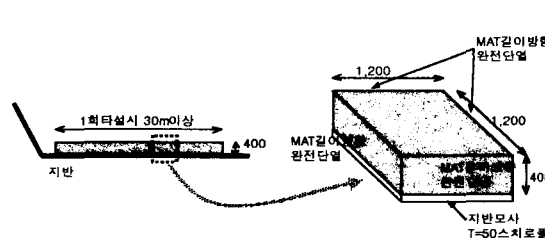


그림 1 매트기초 실구조물과 시험체

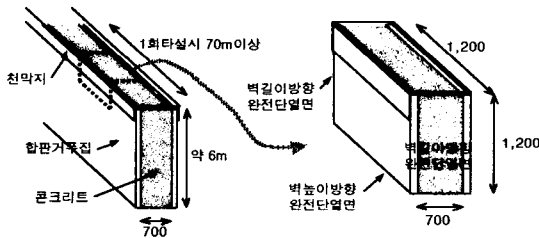


그림 2 벽체 실구조물과 시험체

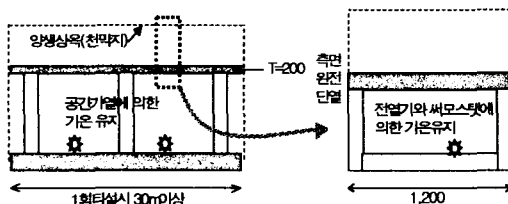


그림 3 슬라브 실구조물과 시험체

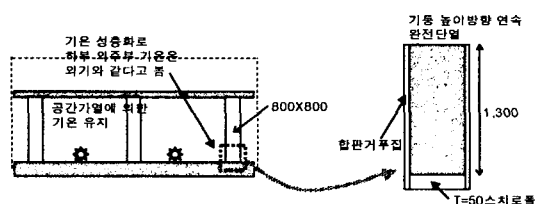


그림 4 기둥 실구조물과 시험체

### 2.2 온도측정

온도센서는 T-Type Thermo Couple를 사용하였으며, 콘크리트 표면온도는 철근피복(깊이 약 3cm) 위치에서 측정하였다. 온도자료는 15분 간격으로 Data Logger로 자동 저장하였다. 콘크리트의 온도는 콘크리트 타설완료 직후부터 측정하였으며, 부재에 따라 3일~7일간 측정하였다.

### 2.3 외기환경조건

-6°C ~ -10°C 정도의 범위에서 양생을 하였다. 외부 기온이 높을 때는 냉동콘테이너에 시험체를 넣어 인공기후 사이클을 주었고, 콘테이너 내부에 여유공간이 있을 경우에는 외풍을 모사하기 위해서 대형 선풍기로 풍속을 5%로 유지하였다. 외부기온이 낮을 때는 외기 조건에서 실험하였다.

## 2.4 보양방법

본 실험 시, 시험체 종류에 따라 적용된 보양방법은 표 2와 같다. 온상선은 최근 국내에서 상용화된 제품으로 단위길이(m)당 22W의 발열량을 내는 제품을 사용하였다.

표 2 시험체별 보양방법

부위	기호	보양 및 급열방법	부위	기호	보양 및 급열방법
매트 기초	Mat-A	표면 비닐+부직포	슬라브	Slab-A	하부 공간가열+상온+표면 부직포
	Mat-B	표면 스치로풀(T=20)		Slab-B	하부 공간가열+상온+표면 부직포+표면 온상선
	Mat-C	표면 온상선+부직포		Slab-C	하부 공간가열+표면 부직포
벽	Wall-A	거푸집 그대로	기둥	Slab-D	백열전구 가열
	Wall-B	거푸집 외측 스치로풀(T=30)		Column	거푸집 그대로
	Wall-C	철근 피복깊이 온상선			

## 3. 온도해석을 위한 계수 제시

콘크리트 온도해석시 사용한 프로그램은 ANSYS 5.5로서 범용 유한요소 해석 프로그램이다. 사용한 요소는 2차원 PLAN 55로서 온도에 대해 자유로운 4개의 노드를 가지고 있으며, 정상상태 및 비정상상태의 해석 모두에 사용될 수 있다. 한편, ANSYS 5.5를 통한 해석결과를 Mock-up 실험결과와 비교·분석하면서 온도해석을 위한 계수를 결정하였다. 온도해석시 고려할 항목은 다음과 같다.

### 3.1 재료의 물성

각 재료의 열전도율, 비열 및 밀도는 표 3과 같이 여러 문헌에서 일정한 범위로 제시되어 있다. 각 재료의 물성을 제시된 값 내에서 변경시키면서 실험결과와 해석결과를 비교하여 그 값을 확정하였다.

표 3 해석에 사용된 재료의 물성

재료	열전도율(kcal/mhr °C)		비열(kcal/kg °C)		밀도(kg/m³)	
	범위	확정값	범위	확정값	범위	확정값
콘크리트	2.2~2.4	2.4	0.25~0.30	0.25	2,200~2,400	2,300
거푸집 합판	0.1111	0.1111	0.484	0.484	266	266
부직포	0.03~0.04	0.035	-	0.3	10~50	16
스치로풀	0.033~0.039	0.039	0.25~0.30	0.288	16~30	16
아이소핑크	0.028~0.025	0.028	0.25~0.30	0.288	20~40	20
지반(암)	1.85~4.63	3.24	0.18~0.26	0.22	2,150~2,680	2,415

### 3.2 대류경계조건

대류경계조건은 풍속에 의해 결정되는 표면에서의 대류열전달율로서 결정된다. 실험결과와 해석결과를 비교하는 과정에서 바람이 거의 없다고 판단되는 부분(천막지 등으로 바람을 막는 부분)의 대류열전달율은  $10\text{kcal}/\text{m}^2\text{hr}^\circ\text{C}$ 로 적용하고, 풍속 5% 이상의 바람에 노출되는 부분(외기노출 부분)의 대류열전달율은  $30\text{kcal}/\text{m}^2\text{hr}^\circ\text{C}$ 로 적용하였다.

### 3.3 콘크리트의 수화열

표준시방서에는 콘크리트의 초기온도 및 시멘트의 종류에 따라 다음 식과 같은 단열온도 상승식을 적용할 것을 제시하고 있다. 여기에서,  $Q_\infty$ 는 최종단열온도 상승량,  $r$ 은 온도상승계수,  $t$ 는 재령,  $Q(t)$ 는 재령  $t$ 일에서의 단열온도 상승량이다.

$$Q(t) = Q_\infty(1 - e^{-rt})$$

그리고, 본 실험에 사용된 시멘트는 보통포틀랜드시멘트로서 보통포틀랜드시멘트의  $Q_{\infty}$  및  $r$ 의 표준값은 표 4와 같고, 단위시멘트량 352kg/m<sup>3</sup>의 경우 타설온도에 따른  $Q_{\infty}$  및  $r$ 의 값은 표 5와 같다.

표 4 단열온도 상승식에서의  $Q_{\infty}$  및  $r$ 의 표준값

시멘트 종류	타설온도 (°C)	$Q(t) = Q_{\infty}(1 - e^{-rt})^*$			
		$Q_{\infty} = aC + b$		$r(C) = gC + h$	
		a	b	$g(\times 10^{-3})$	h
보통 포틀랜드 시멘트	10	0.12	11.0	1.5	0.135
	20	0.11	13.0	3.8	-0.036
	30	0.11	12.0	4.0	0.337

\*  $Q_{\infty}$  및  $r$ 은 단위시멘트량(C)의 함수

표 5 단열온도상승계수( $C=352\text{kg}/\text{m}^3$ 의 경우)

온도	10°C	20°C	30°C
$Q_{\infty}$	53.24	51.72	50.72
$r$	0.663	1.302	1.745

단열온도상승식의 결과인  $Q(t)$ 는 단열상태에서의 콘크리트온도를 나타낸다. 그러나, 실제 구조물에 타설된 콘크리트는 부재의 두께 및 외기환경의 영향을 받기 때문에 해석시  $Q(t)$ 값을 그대로 사용할 수 없으며, 체적당 발열량(kal/m<sup>3</sup>hr)으로 환산해야 한다. 단위시간  $\Delta t$ 동안 체적당 발열량(q) 계산식은 다음과 같다. 여기에서,  $C_v$ 는 콘크리트의 열용량,  $Q(\Delta t)$ 는 단위시간동안 콘크리트의 온도상승량이다.

$$q = \frac{C_v \cdot Q(\Delta t)}{\Delta t}$$

#### 4. 실험과 온도해석 결과

##### 4.1 매트기초

매트기초의 보양방법에 따른 실험결과와 해석결과는 그림 5와 같다. Mat-A와 Mat-C의 경우 해석결과가 실험결과에 비해 약간 작게 나타나고 있어, 안전측으로 잘 일치하고 있음을 알 수 있다. 한편, Mat-C의 경우 1.6일 이전에는 실험결과와 해석결과가 잘 일치하고 있으나, 1.6일 이후에는 시험체의 표면온도가 크게 낮아져 실험결과와 해석결과가 큰 차이가 나는 것을 알 수 있는데, 이는 실험시 외기노출 시험체가 폭설에 의해 영향을 받은 것으로 해석에 반영하지 못하였다.

##### 4.2 벽체

벽체의 보양방법에 따른 실험결과와 해설결과는 그림 6과 같다. Wall-A, Wall-B 및 Wall-C 모두 극초기재령(1.5일 이내)에서 해석결과가 실험결과에 비해 약간 작게 나타나고 있어, 안전측으로 잘 일치하고 있음을 알 수 있다. 한편, 벽체 실험은 냉동콘테이너 내부에서 대형선풍기로 풍속 5%의 바람을 만들어 실행하였다. 따라서, 해석시 기온은 실험에서 측정된 냉동콘테이너 내부의 설정기온을 그대로 적용하였으며, 표면열전달율은 천막지로 덮이는 거푸집면은 10kal/m<sup>2</sup>hr°C를, 노출된 거푸집면은 30kal/m<sup>2</sup>hr°C를 적용하였다.

##### 4.3 기둥

기둥의 실험결과와 해석결과는 그림 7과 같이 시험체의 내부온도는 약간 편차가 있으나, 표면온도는 거의 일치하고 있음을 알 수 있다. 한편, 기둥 실험은 외기 노출실험으로 풍속이 5%정도 되었다. 따라서, 해석시 기온은 외기온을 그대로 적용하였고, 거푸집면에 작용하는 표면열전달율은 30kal/m<sup>2</sup>hr°C로 적용하였다.

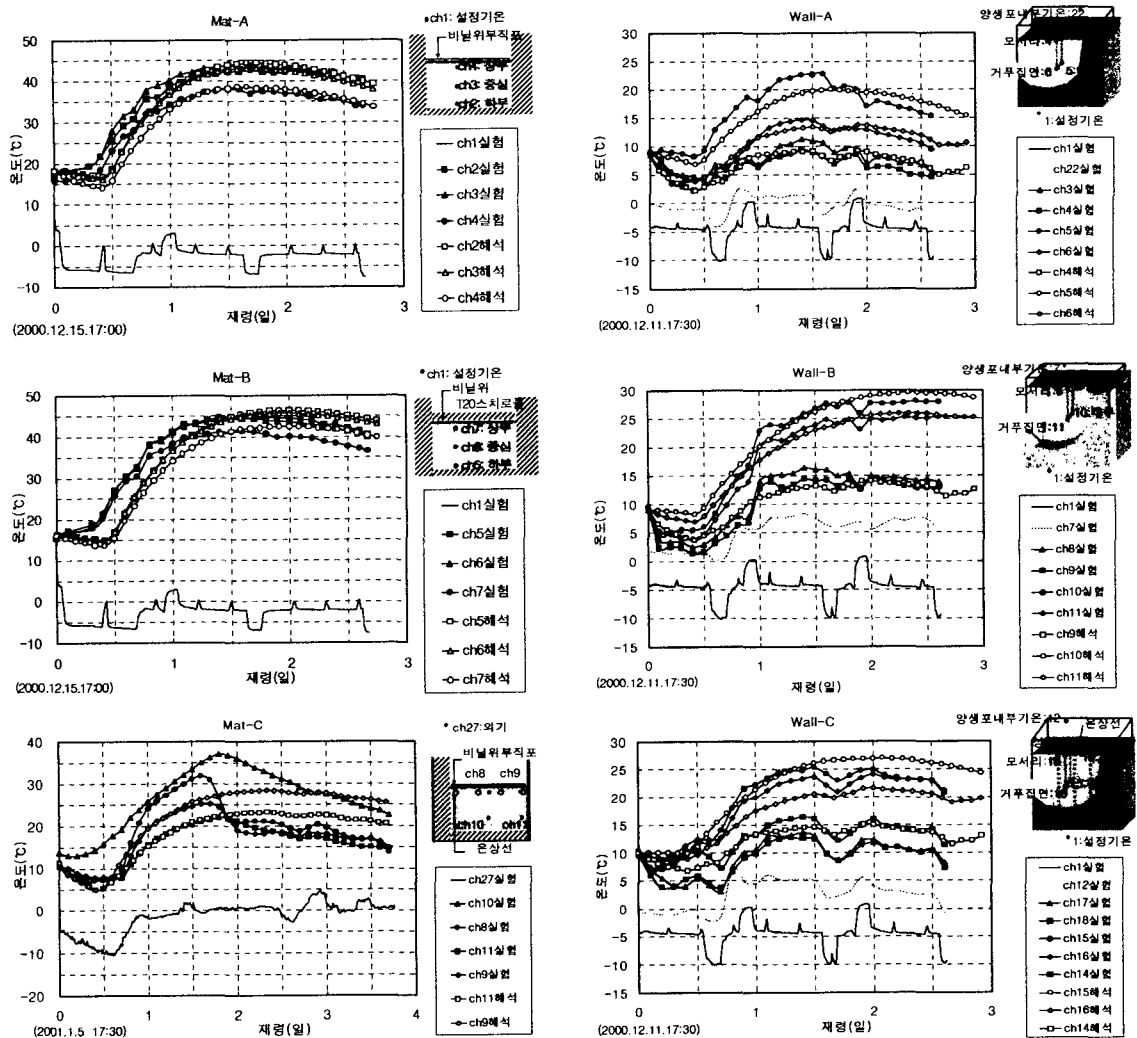


그림 5 매트기초의 실험결과와 해석결과 비교

#### 4.4 슬라브

슬라브의 실험결과와 해석결과는 그림 8과 같이, 해석결과가 약간 낮게 나타나지만 대체적으로 잘 일치하고 있음을 알 수 있다. 시험체 Slab-A의 경우, 0.7일에 표면결빙현상이 확인되어, 이후에 추가로 부직포로 보온을 하였다. 이때 외기온은  $-10^{\circ}\text{C}$ , 콘크리트 표면온도는  $-0.3^{\circ}\text{C}$ (적외선온도계), 3cm깊이의 콘크리트 온도는  $1^{\circ}\text{C}$ (Thermo Couple)로 나타났다. 시험체 Slab-A는 실험종료 후 적산온도에 의한 강도보다 코아공시체의 강도가 훨씬 떨어져 재령 0.7일에 표면부에서 초기동해가 발생한 것으로

그림 6 벽체의 실험결과와 해석결과 비교

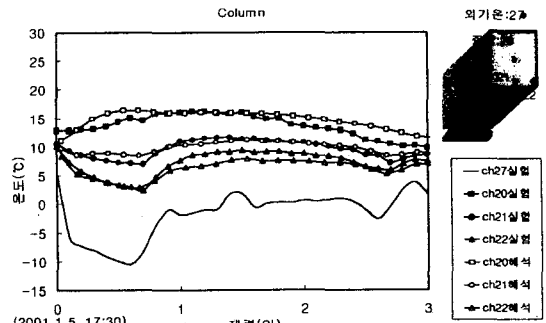


그림 7 기둥의 실험결과와 해석결과 비교

판단된다. 또한, Slab-A 실험결과 특정깊이( $d=0.03m$ )의 콘크리트 온도( $T_c=1^\circ\text{C}$ ), 표면보양조건( $r$ :상온내 노출조건 표면열저항= $0.1\text{m}^2\text{hr}^\circ\text{C}/\text{kcal}$ ), 콘크리트의 열전도율( $k=2.4\text{kcal/mhr}^\circ\text{C}$ ), 외기온( $T_{air}=-10^\circ\text{C}$ )을 알면 다음과 같이 열평형방정식을 이용해 콘크리트의 표면온도( $T_s, ^\circ\text{C}$ )를 계산할 수 있음을 확인하였다.

$$T_s = T_c - \frac{(T_c - T_{air}) \cdot d/k}{r + d/k} = -0.22(\text{ }^\circ\text{C}) \quad (\text{실측결과는 } -0.3\text{ }^\circ\text{C})$$

한편, Slab-A 및 D의 실험결과 상온내 기온은 외기온보다 약간 높게 나타나는 것으로 보아, 상온은 보온의 역할은 하지 않고 외풍을 막아 표면 대류열전달률을 줄이는 역할만을 하고 있는 것을 알 수 있다. 전구로 콘크리트의 면을 직접 가열할 경우(복사열), 콘크리트의 온도는 주변기온보다  $3\sim 5^\circ\text{C}$ 정도 높아지는 것으로 나타났는데, 이는 해석의 경우에도 잘 나타나 실험결과와 해석결과가 비교적 잘 일치하고 있음을 알 수 있다.

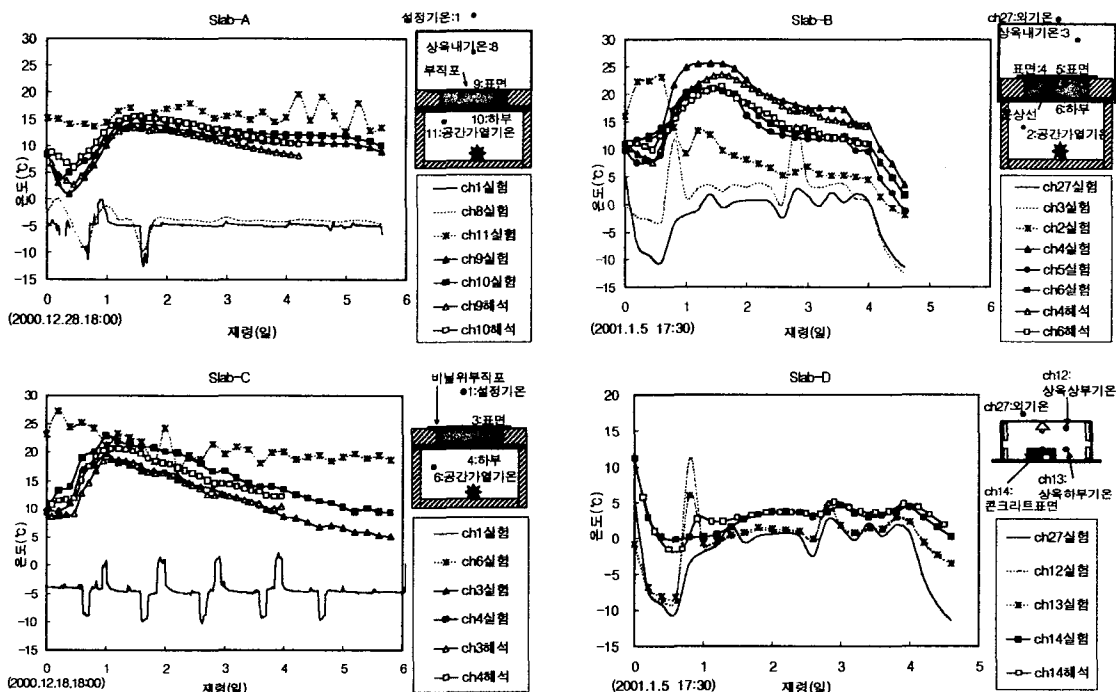


그림 8 슬라브의 실험결과와 해석결과 비교

## 5. 결론

본 연구의 결론은 다음과 같다.

- (1) 본 연구에서 제시한 온도해석기법의 결과가 실험결과와 잘 일치하고 있음을 알 수 있다.
- (2) 동절기 콘크리트의 온도해석시, 본 연구에서 제시한 온도해석기법을 다양한 외기조건 및 부재크기에 따라 적용 가능함을 알 수 있다.
- (3) 콘크리트 특정깊이의 온도를 이용하여 표면부의 온도를 계산할 수 있음을 알 수 있다.

## 참고문헌

1. 대한건축학회, “건축설계자료집 - 환경계획편”, 1994. 4
2. FRANK P. INCROPERA 외 1인, “Introduction to heat transfer”, 1993. 8
3. ASHRAE, “FUNDAMENTALS”, 1993.